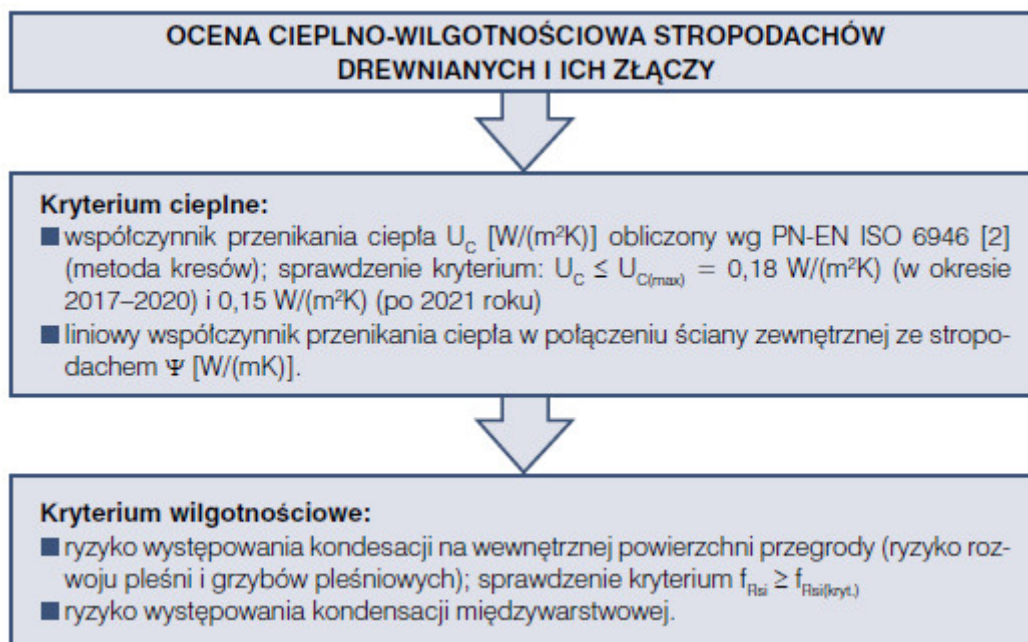


# Prawidłowa izolacja cieplna poddaszy

Od 1 stycznia 2017 roku wg Rozporządzenia [1] obowiązują nowe (niższe) wartości graniczne współczynnika przenikania ciepła  $U_{C(max)}$  [W/(m<sup>2</sup>K)] dla pojedynczych przegród zewnętrznych budynku oraz niższe wartości graniczne wskaźnika zapotrzebowania na nieodnawialną energię pierwotną EP [kWh/(m<sup>2</sup>rok)] dla całego budynku.

Na rysunku 1 przedstawiono kryteria oceny stropodachów drewnianych (poddaszy) w świetle Rozporządzenia [1]. W związku ze zmianą wartości granicznych współczynnika przenikania ciepła  $U_{C(max)}$  [W/(m<sup>2</sup>K)] zasadne staje się przeprowadzenie obliczeń i analiz w zakresie wytypowania rozwiązań materiałowych stropodachów drewnianych spełniających wymagania cieplne.



Rys. 1. Schemat oceny cieplno-wilgotnościowej stropodachów drewnianych

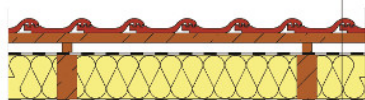
## Rozwiązania konstrukcyjno-materiałowe stropodachów drewnianych

Rozwiązania konstrukcyjno-materiałowe stropodachów drewnianych różnią się od siebie sposobem ułożenia warstwy izolacji termicznej oraz sposobem wentylowania.

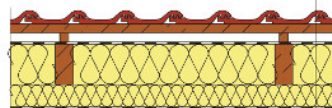
Występuje kilka możliwości mocowania termoizolacji (rys. 2):

- między krokwiemi (rys. 2a)
- między krokwiemi i nad lub pod nimi (rys. 2b)
- na krokwiach (rys. 2c).

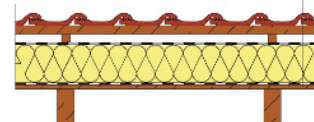
1. Dachówka ceramiczna
2. Łata
3. Kontrłata/szczelina dobrze wentylowana
4. Folia wysokoparoprzepuszczalna
5. Izolacja cieplna/krowiew
6. Folia paroizolacyjna
7. Płyta gipsowo-kartonowa



1. Dachówka ceramiczna
2. Łata
3. Kontrłata/szczelina dobrze wentylowana
4. Folia wysokoparoprzepuszczalna
5. Izolacja cieplna
6. Dodatkowa warstwa izolacji cieplnej
7. Folia paroizolacyjna
8. Płyta gipsowo-kartonowa



1. Dachówka ceramiczna
2. Łata
3. Kontrłata/szczelina dobrze wentylowana
4. Folia wysokoparoprzepuszczalna
5. Izolacja cieplna
6. Folia paroizolacyjna
7. Deskowanie
8. Krokiew



Rys. 2. Układy warstw materiałowych stropodachów drewnianych [3]: a) izolacja cieplna między krokwiemi, b) izolacja cieplna między i pod krokwiemi, c) izolacja cieplna nad krokwiemi

Jej usytuowanie zależy od wielu czynników oraz zjawisk cieplno-wilgotnościowych. W dachach z poddaszem ogrzewanym ocieplenie jest najczęściej układane między i pod krokwiemi. Jego grubość zależna jest od wysokości krokwii. Wykonywane jest z płyt, mat lub w postaci luźnego materiału wdmuchiwanego, na którym układana jest warstwa wiatroizolacji. Jej zadaniem jest ochrona przed powietrzem przepływającym z zewnątrz oraz przepuszczanie pary wodnej. Pod warstwą izolacji stosuje się paroizolację układaną na warstwie wykończeniowej. Nachylenie połaci dachowych zależy od rodzaju pokrycia dachowego i geometrii dachu.

Materiały do warstwy izolacji cieplnej powinny charakteryzować się niskim współczynnikiem przewodzenia ciepła  $\lambda$  [W/(mK)] i dużą porowatością. Inne parametry techniczne są zależne od ich pochodzenia. Do grupy materiałów warstwy izolacji cieplnej, stosowanych do izolacji poddaszy i stropów pod poddaszami nieużytkowanymi można zaliczyć wg [4]:

■ wełnę mineralną – materiał nieorganiczny, włóknisty, produkowany z mieszaniny surowców naturalnych (bazalty, margle) i odpadowych (żużel wielkopiecowy). W tej grupie materiałowej funkcjonują dwa rodzaje: wełna szklana i wełna skalna.

Wełna szklana produkowana jest m.in. ze stłuczki szklanej i z piasku kwarcowego (charakterystyczny kolor – od jasnokremowego do żółtego) i występuje w postaci mat i płyt lekkich oraz w postaci granulatu.

Deklarowany współczynnik przewodzenia ciepła wynosi  $\lambda_D = 0,032$  W/(mK) dla płyt i mat oraz  $\lambda_D = 0,038$  W/(mK) w postaci granulatu.

Wełna skalna jest produkowana z różnego kruszywa kamiennego np. bazaltu, gabra, kruszywa wapiennego, brykietu mineralnego. W przypadku tego materiału występuje pełna oferta wyrobów: płyty o różnej gęstości ( $\lambda_D = 0,035$  W/(mK)), maty i granulaty ( $\lambda_D = 0,038$  W/(mK)).

■ wełnę celulozową – materiał w formie sypkiego włóknistego granulatu. Wytwarzana jest z papieru gazetowego, który jest najpierw sortowany, następnie rozdzierany i rozdrabniany, aż do uzyskania postaci izolujących płatków celulozy. Układana jest metodą zasypu ( $\lambda_D = 0,037$  W/(mK)).

■ płyty drzewne – materiały drewnopochodne z rozwłóknionego drewna ( $\lambda_D = 0,038$  W/(mK)).

■ płyty z wełny owczej – naturalny materiał organiczny z wełny owczej w postaci płyt. Dodatkową zaletą materiału jest zdolność m.in. do neutralizacji formaldehydów ( $\lambda_D = 0,037$  W/(mK)).

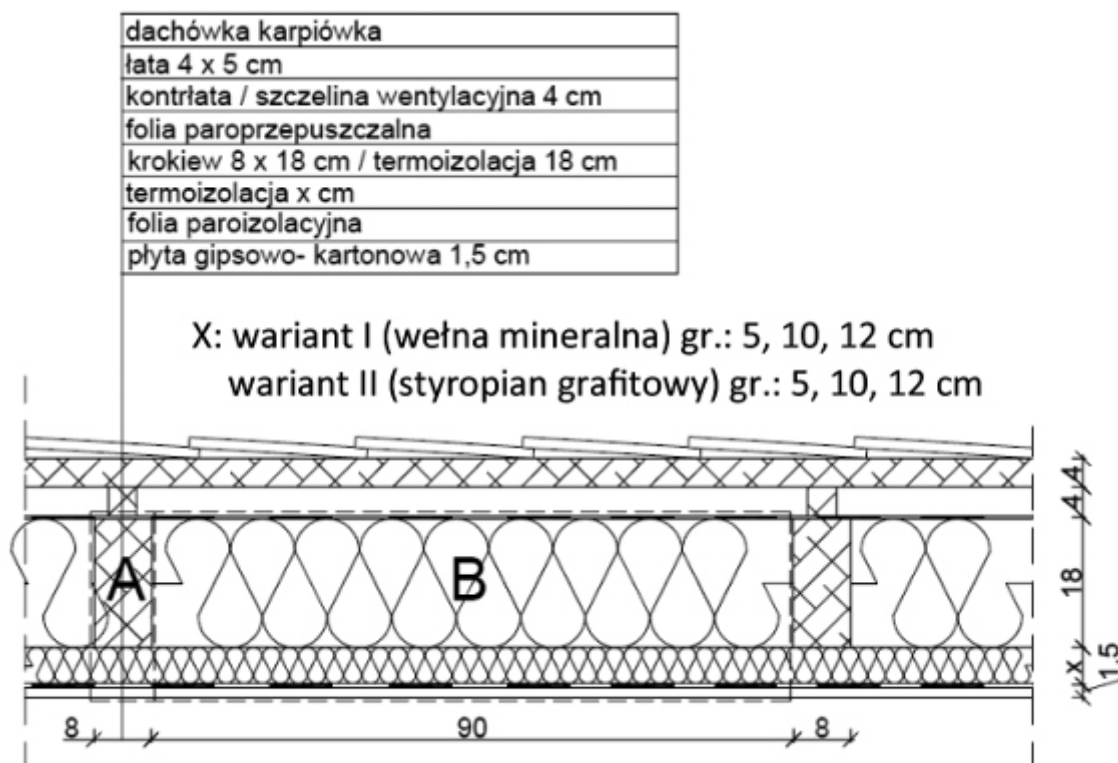
■ piankę poliuretanową PIR/PUR – materiał chemoutwardzalny, w postaci sztywnej piany natryskowej. Występuje w postaci pianki o porach otwartych (spieniona na budowie) i o porowatości zamkniętej (płyty z osłoną lub bez osłony). Sztywne płyty stosowane są jako izolacja podkrokwiova (często z wykończeniem płytą gipsowo-kartonową) lub jako izolacja nadkrokwiova ( $\lambda_D = 0,020$ – $0,023$  W/(mK)).

■ płyty korkowe – powstają z tkanki korkowej formowanej przez drzewa dębów korkowych. Produkowane są z korka ekspandowanego ( $\lambda_D = 0,037$  W/(mK)).

Dobór materiału termoizolacyjnego powinien opierać się na podstawie szczegółowych obliczeń i analiz w zakresie ochrony cieplno-wilgotnościowej, akustycznej i przeciwpożarowej.

### **Obliczenia cieplne wybranych stropodachów drewnianych**

Do analizy parametrów cieplnych wybrano stropodach drewniany z izolacją cieplną między i pod krokwiemi (wariant I, II, III).



Rys. 3. Model obliczeniowy stropodachu drewnianego [6, 7, 8]

Do obliczeń przyjęto następujące założenia:

- wartości współczynnika przewodzenia ciepła  $\lambda$  [W/(mK)] wg danych producenta oraz pracy [5]; dla wełny mineralnej  $\lambda = 0,035$  W/(mK) (wariant I), dla płyt ze styropianu grafitowego  $\lambda = 0,031$  W/(mK) (wariant II), dla płyt z pianki poliuretanowej PIR  $\lambda = 0,026$  W/(mK) (wariant III)
- w wariantcie obliczeniowym stropodachu zaprojektowano dobrze wentylowaną warstwę powietrza grubości 4 cm, więc wg PN-EN ISO 6946:2008 [2] opór cieplny komponentu budowlanego będzie liczony z pominięciem oporu cieplnego warstw między szczeliną powietrzną a środowiskiem zewnętrznym oraz wliczając zewnętrzny opór przejmowania ciepła, który odpowiada powietrzu nieruchomemu ( $R_{si} = 0,10$  (m<sup>2</sup>K)/W); obliczenia przeprowadzono metodą kresów.

Modele obliczeniowe zawierające układy warstw materiałowych analizowanych stropodachów w powszechnie stosowanych rozwiązaniach materiałowych (izolacja pod krokiewiami i między krokiewiami), przedstawiono na rysunku 3.

Wyniki obliczeń współczynnika przenikania ciepła  $U$  [W/(m<sup>2</sup>K)] dla wybranych rozwiązań materiałowych stropodachów drewnianych, metodą kresów, zestawiono w tablicy 1.

Przypadek	X [m]	R' <sub>T</sub> [(m <sup>2</sup> K)/W]	R'' <sub>T</sub> [(m <sup>2</sup> K)/W]	R <sub>T</sub> [(m <sup>2</sup> K)/W]	U [W/(m <sup>2</sup> K)]
Wariant I – ocieplenie z wełny mineralnej między krokiewmi gr. 18 cm i pod krokiewmi gr. X = 5, 10, 12 cm					
Przypadek a	0,05	6,098	5,550	5,824	0,17
Przypadek b	0,10	7,692	6,978	7,335	0,14
Przypadek c	0,12	8,264	7,550	7,907	0,13
Wariant II – ocieplenie styropianem grafitowym między krokiewmi gr. 18 cm i pod krokiewmi gr. X = 5, 10, 12 cm					
Przypadek a	0,05	6,803	6,090	6,447	0,16
Przypadek b	0,10	8,547	7,703	8,125	0,12
Przypadek c	0,12	9,259	8,348	8,804	0,11
Wariant III – ocieplenie wełną mineralną między krokiewmi gr. 18 cm i płytami z pianki PIR pod krokiewmi gr. X = 5, 10, 12 cm					
Przypadek a	0,05	6,581	5,938	6,260	0,16
Przypadek b	0,10	8,646	7,861	8,254	0,12
Przypadek c	0,12	9,448	8,631	9,327	0,11

X – grubość termoizolacji [m]

R'<sub>T</sub> – kres górny całkowitego oporu cieplnego [(m<sup>2</sup>K)/W] wg PN-EN ISO 6946:2008

R''<sub>T</sub> – kres dolny całkowitego oporu cieplnego [(m<sup>2</sup>K)/W] wg PN-EN ISO 6946:2008

R<sub>T</sub> – opór cieplny przegrody [(m<sup>2</sup>K)/W] wg PN-EN ISO 6946:2008

U – współczynnik przenikania ciepła przegrody [W/(m<sup>2</sup>K)] wg PN-EN ISO 6946:2008

Tablica 1. Wyniki obliczeń współczynnika przenikania ciepła U [W/(m<sup>2</sup>K)] stropodachów drewnianych z izolacją cieplną między i pod krokiewmi  
– opracowanie własne na podstawie [6, 7, 8]

### Podsumowanie i wnioski

Dobór warstw materiałowych poddaszy drewnianych nie powinien być przypadkowy, lecz przeprowadzony w oparciu o obliczenia i analizy w aspekcie cieplno-wilgotnościowym (rys. 1). Na podstawie przeprowadzonych obliczeń współczynnika przenikania ciepła U [W/(m<sup>2</sup>K)] wybranych stropodachów drewnianych (tablica 1) można stwierdzić, że warunek izolacyjności cieplnej  $U_{C \leq U_{C(max)}} = 0,18$  (w okresie 2017–2020) został spełniony dla wszystkich wariantów obliczeniowych. Natomiast, aby spełnić wymagania obowiązujące po 2021 roku ( $U_{C(max)} = 0,15$ ) należy zastosować izolację podkrokwiovą o grubości min. 10 cm (tablica 1).

W ramach analizy zaleca się przeprowadzenie szczegółowych obliczeń parametrów fizykalnych złączy budowlanych (np. połączenie stropodachu ze ścianą zewnętrzną, połączenie stropodachu z oknem połaciowym) tj.: wartość liniowego współczynnika przenikania ciepła  $\Psi$  [W/(mK)] oraz czynnika temperaturowego  $f_{Rsi}$ . Szczegółowe procedury w zakresie kształtowania układów materiałowych przegród zewnętrznych i złączy budowlanych w aspekcie cieplno-wilgotnościowym przedstawiono w pracy [5]. Poprawne ukształtowanie warstw materiałowych złączy pozwala na ograniczenie dodatkowych strat ciepła oraz uniknięcie ryzyka występowania kondensacji powierzchniowej (ryzyka rozwoju pleśni i grzybów pleśniowych) i kondensacji międzywarstwowej.

dr inż. Krzysztof Pawłowski  
Uniwersytet Technologiczno-Przyrodniczy w Bydgoszczy

### Literatura

1. Rozporządzenie Ministra Transportu, Budownictwa i Gospodarki Morskiej zmieniające rozporządzenie w sprawie warunków technicznych, jakim powinny odpowiadać budynki i ich usytuowania (Dz.U z 2013 r., poz. 926).
2. PN-EN ISO 6946:2008 Komponenty budowlane i elementy budynku – Opor cieplny i współczynnik przenikania ciepła – Metoda obliczania.
3. Maciaszek M., *Studium projektowe przegród zewnętrznych i ich złączy z zastosowaniem nowoczesnych materiałów izolacyjnych*, Praca dyplomowa inżynierska napisana pod kierunkiem dr. inż. K. Pawłowskiego, UTP w Bydgoszczy, Bydgoszcz, 2016.
4. Wesołowska M., Pawłowski K., *Aspekty związane z dostosowaniem obiektów istniejących do standardu budownictwa energooszczędnego*, Agencja Reklamowa TOP, Włocławek, 2016.
5. Pawłowski K., *Projektowanie przegród zewnętrznych w świetle aktualnych warunków technicznych dotyczących budynków. Obliczenia cieplno-wilgotnościowe przegród zewnętrznych i ich złączy*,

Wydawnictwo Grupa Medium, Warszawa, 2016.

6. Wojtalewicz A., *Studium projektowe przegród zewnętrznych niskoenergetycznego budynku jednorodzinnego*, Praca dyplomowa inżynierska napisana pod kierunkiem dr. inż. K. Pawłowskiego, UTP w Bydgoszczy, Bydgoszcz, 2016.
7. Mrzygłód M., Wojtalewicz A., *Analiza rozwiązań materiałowych przegród zewnętrznych budynku w standardzie niskoenergetycznym*, w: *Nowoczesne projektowanie i realizacja konstrukcji budowlanych*, Politechnika Krakowska, Kraków, 2016.
8. Pawłowski K., *Kształtowanie rozwiązań materiałowych stropodachów drewnianych w świetle nowych wymagań cieplnych*, *Izolacje*, 10/2016, str. 64-68.